

# 课程信息

- 第七次作业：
  1. 阅读黄昆《固体物理》第七章7-1至7-8小结，并总结其主要知识结构或知识点（不超过半页A4纸）
  2. 画出直接带隙半导体与间接带隙半导体的光吸收过程。
  3. 画出霍尔效应的实验示意图，通过霍尔效应能得到半导体的那些信息？
  4. 书后习题7.2

氢原子电子基态能量

$$E_{Hi} = -\frac{mq^4}{(4\pi\epsilon_0)^2(2\hbar^2)} \left\{ \begin{array}{l} m \rightarrow m^* \\ q^2 \rightarrow \frac{q^2}{\epsilon_r} \end{array} \right.$$

施主的电离能

$$E_i = -\frac{m^* q^4}{(4\pi\epsilon_0)^2 \epsilon_r^2 (2\hbar^2)}$$

施主态与氢原子中  
电子的电离能之比

$$\frac{E_i}{E_{Hi}} = \frac{m^*}{m} \cdot \frac{1}{\epsilon_r^2}$$

因为  $m^* < m, \epsilon_r \gg 1$

$$\frac{m^*}{m} \cdot \frac{1}{\epsilon_r^2} \sim 10^{-2}$$

—— 施主态的电离能较小

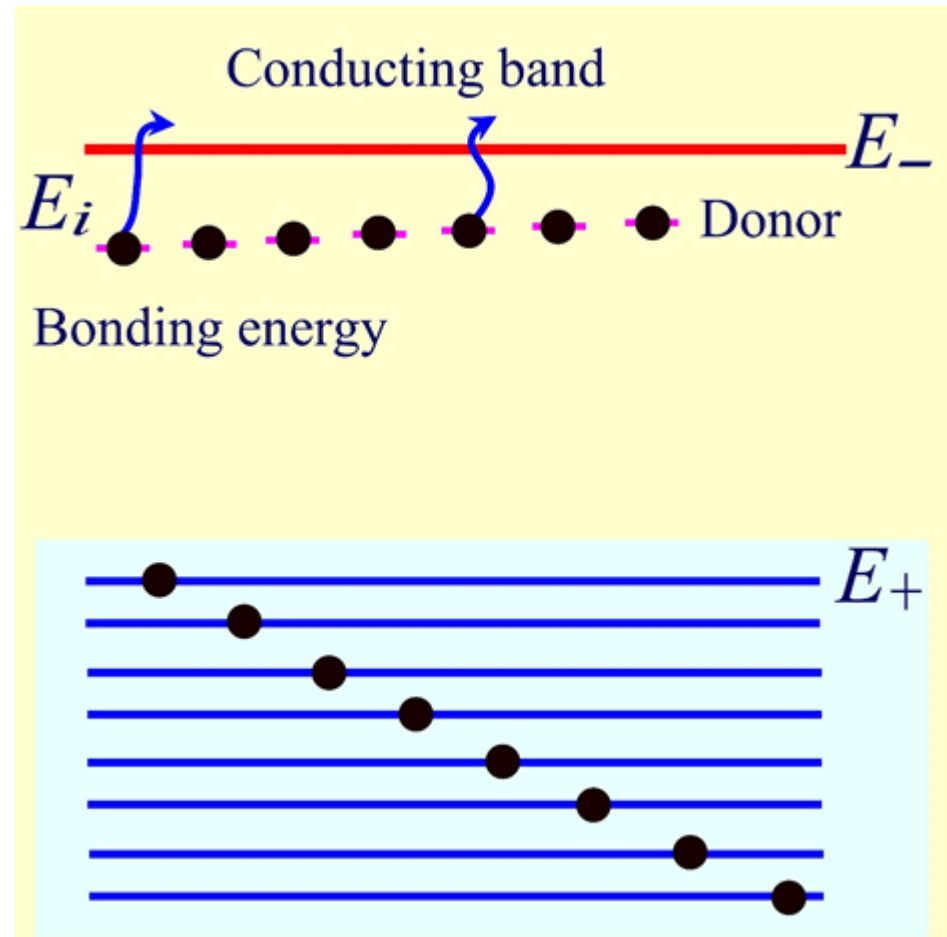
电子电离 —— 电子摆脱施主束缚能在导带中运动

施主的能量在导带底 $E_-$ 下面

带隙中的电子获得能量

$$E_i = -\frac{m^* q^4}{(4\pi\epsilon_0)^2 \epsilon_r^2 (2\hbar^2)}$$

—— 激发到导带中



氢原子中电子的薛定谔方程 
$$\left(-\frac{\hbar^2}{2m}\nabla^2 - \frac{q^2}{4\pi\epsilon_0 r}\right)\psi(\vec{r}) = E\psi(\vec{r})$$

电子的基态波函数 
$$\psi_i(\vec{r}) = Ce^{-\frac{r}{a_0}} \quad a_0 = \frac{4\pi\hbar^2\epsilon_0}{mq^2}$$

施主杂质电子的薛定谔方程 
$$\left(-\frac{\hbar^2}{2m^*}\nabla^2 - \frac{q^2}{4\pi\epsilon_r\epsilon_0 r}\right)F(\vec{r}) = E_d F(\vec{r})$$

电子的基态波函数 
$$F(\vec{r}) = C'e^{-\frac{r}{a}}$$

$$a = \frac{4\pi\hbar^2\epsilon_r\epsilon_0}{m^*q^2} \gg a_0 = 0.052 \text{ nm}$$

对于掺入少一个电子的原子构成受主的情况是类似的

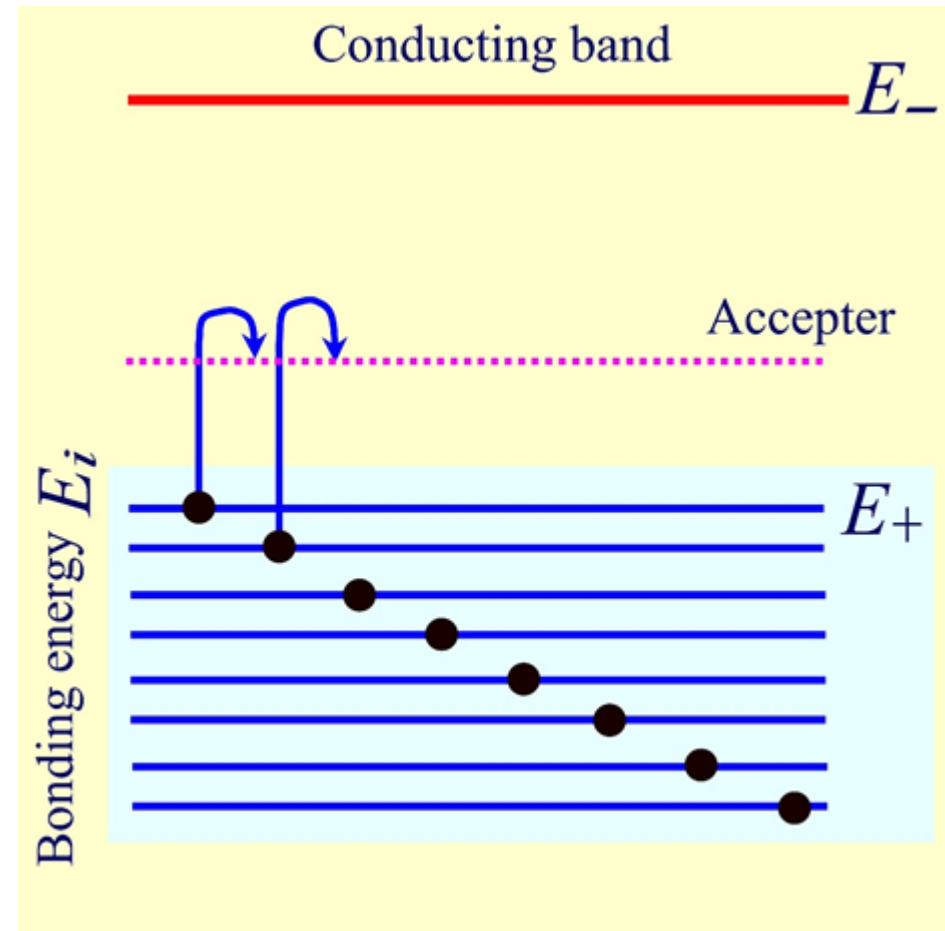
—— 满带中的空穴可以被杂质的负离子所束缚

一个束缚空穴的受主能级  
位于满带 $E_+$ 上面

—— 满带中的一个电子  
需要吸收能量

$E_i$

—— 才可以从满带跃迁到  
受主能级，而在满带中留下  
一个自由空穴



—— 以上形成的施主或受主，称为类氢杂质能级

特点 —— 束缚能很小，对于产生电子和空穴特别有效，  
施主或受主的能级非常接近导带或价带，称浅能级杂质

### 3. 深能级杂质

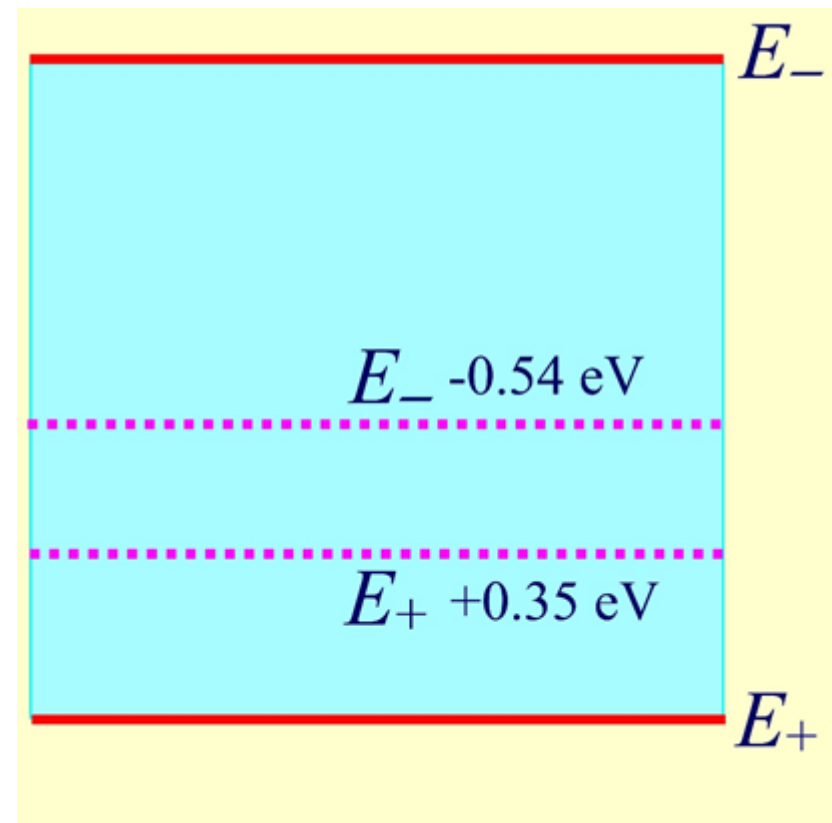
一些掺杂半导体中的杂质或缺陷在带隙中引入的能级较深

—— 深能级杂质

—— 掺Au的Si半导体

—— 受主能级：导带下**0.54 eV**

—— 施主能级：价带上**0.35 eV**



## ☒ 深能级杂质的多重能级与荷电状态

一般情况下深能级杂质大多为多重能级

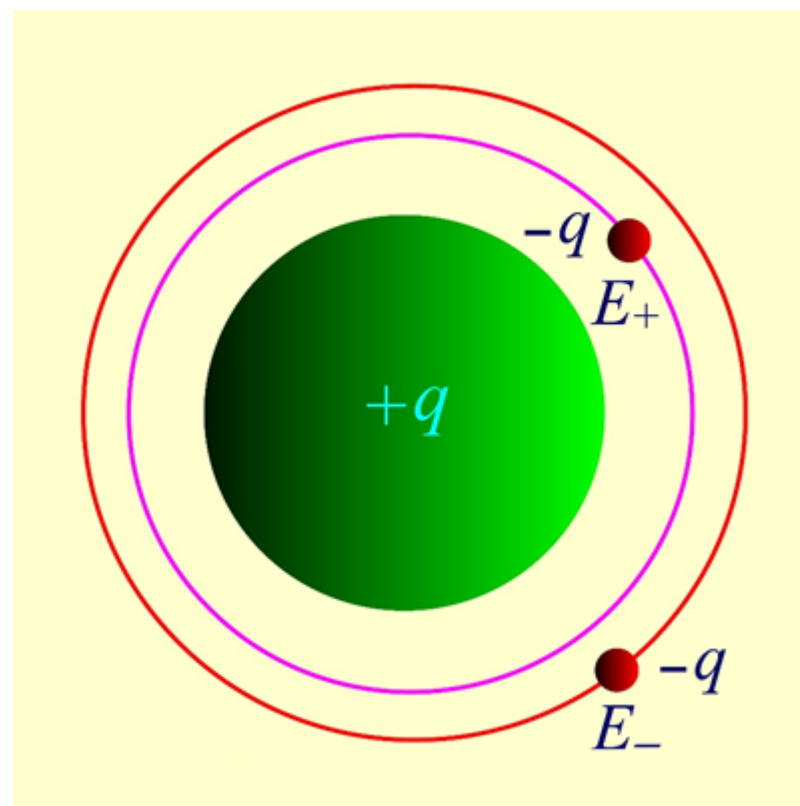
—— 在Si中掺杂的Au原子为两重能级

—— 多重能级反映了杂质带电的情况

1) 两个能级均无电子填充时，**Au**杂质带正电

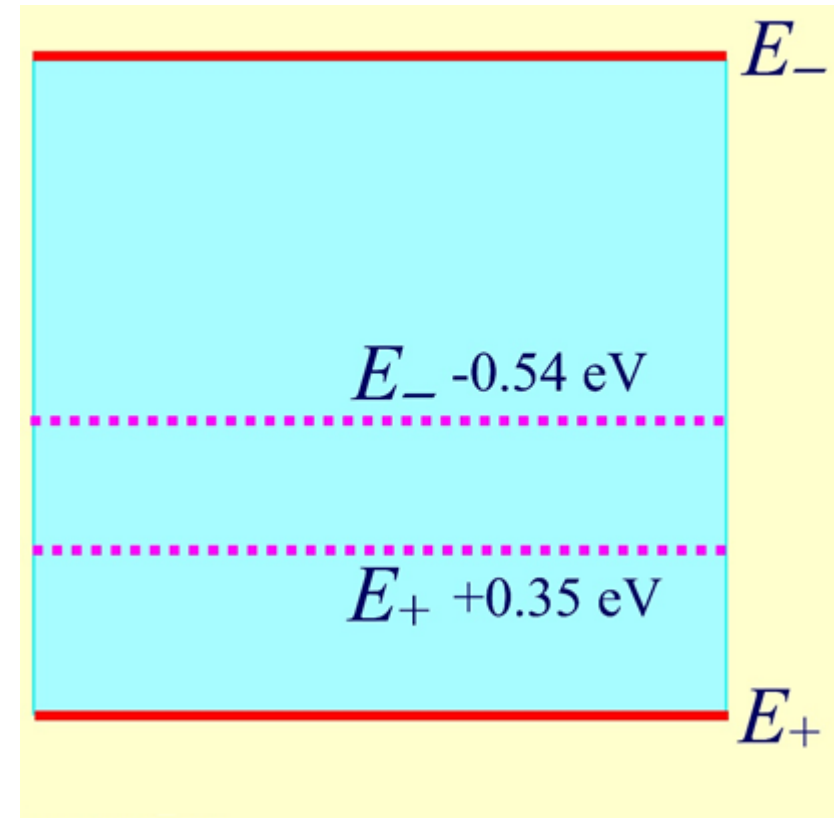
2) 受主能级填充一个电子，施主能级无电子填充时，**Au**为中性带电状态；

3) 受主能级和施主能级都有电子填充时，**Au**杂质带负电



## ☒ 深能级杂质和缺陷的作用

- 1) 可以成为有效复合中心，大大降低载流子的寿命；
- 2) 可以成为非辐射复合中心，影响半导体的发光效率；
- 3) 可以作为补偿杂质，大大提高半导体材料的电阻率





## § 7.3 半导体中电子的费米统计分布

### 1. 半导体载流子

半导体中的电子服从费米 —— 狄拉克统计

- 在金属中，电子填充空带的部分形成导带，相应的费米能级位于导带中
- 对于掺杂不太多的半导体，热平衡下，施主电子激发到导带中，同时价带中还有少量的空穴
- 半导体中电子的费米能级位于带隙之中

半导体中费密能级位于带隙之中

且有

$$E_- - E_F \gg k_B T$$

$$E_F - E_+ \gg k_B T$$

电子在导带各能级分布的几率

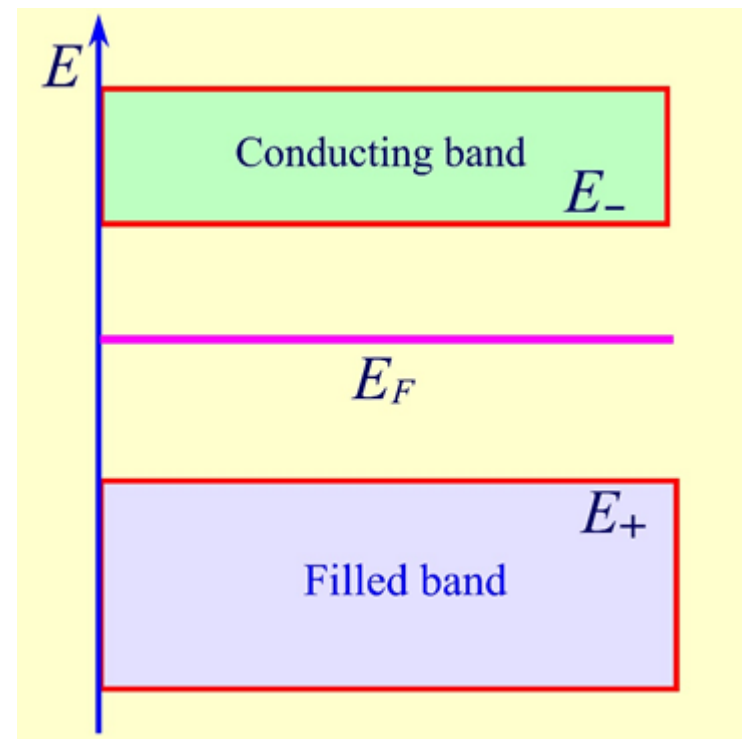
$$f(E) = \frac{1}{e^{(E-E_F)/k_B T} + 1}$$

$$f(E) \approx e^{-(E-E_F)/k_B T}$$

—— 导带中的电子接近经典玻耳兹曼分布

$$f(E) \ll 1$$

—— 导带中每个能级上电子的平均占据数很小



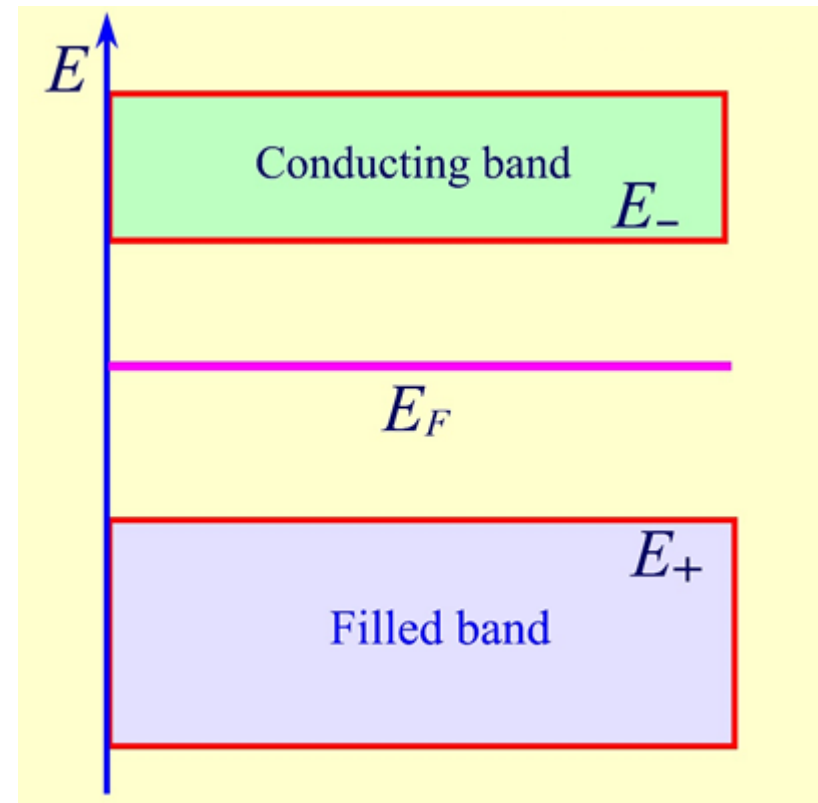
满带中空穴占据的几率 —— 能级不被电子占据的几率

$$1 - f(E) = 1 - \frac{1}{e^{(E - E_F)/k_B T} + 1} = \frac{1}{e^{(E_F - E)/k_B T} + 1}$$

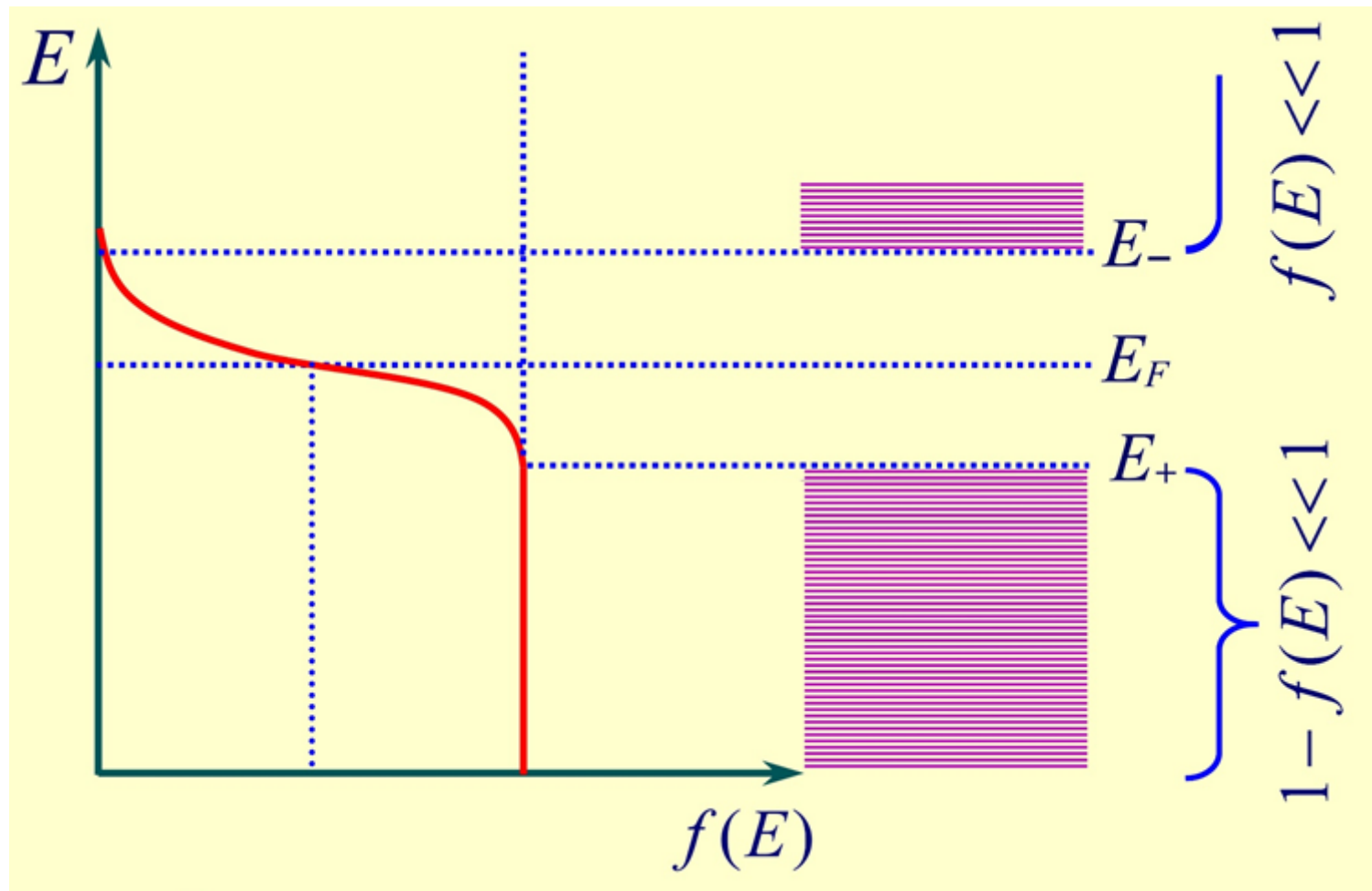
应用  $E_F - E > E_F - E_+ \gg k_B T$

$$1 - f(E) \approx e^{-\frac{E_F - E}{k_B T}}$$

—— 空穴占据状态的 $E$ 越低(电子的能量), 空穴的能量越高, 空穴平均占据数越小(电子占据数越大)



- 半导体中的导带能级和满带能级远离费密能量
- 导带接近于空的，满带接近于充满



## 2. 费密能级和载流子浓度

导带底附近的能量  $E(\vec{k}) = E_- + \frac{\hbar^2 k^2}{2m_-^*}$

满带顶附近的能量  $E(\vec{k}) = E_+ - \frac{\hbar^2 k^2}{2m_+^*}$

应用自由电子能态密度  $N(E) = \frac{V}{4\pi^3 |\nabla_k E|} \int dS$

$$N(E) = \frac{V}{4\pi^3} \frac{m}{\hbar^2 k} \cdot 4\pi k^2$$

$$k_- = \sqrt{2m_-^* (E - E_-) / \hbar^2} \quad N_-(E) = \frac{4\pi V}{h^3} (2m_-^*)^{3/2} \sqrt{E - E_-}$$

$$k_+ = \sqrt{2m_+^* (E_+ - E) / \hbar^2} \quad N_+(E) = \frac{4\pi V}{h^3} (2m_+^*)^{3/2} \sqrt{E_+ - E}$$

导带中电子的浓度


$$n = \int_{E_-}^{\infty} f(E) N_-(E) dE \quad f(E) = e^{-(E-E_F)/k_B T}$$

$$N_-(E) = \frac{4\pi V}{h^3} (2m_-^*)^{3/2} \sqrt{E - E_-}$$

$$n = \frac{4\pi}{h^3} (2m_-^*)^{3/2} \int_{E_-}^{\infty} e^{-\frac{E-E_F}{k_B T}} \sqrt{E - E_-} dE$$

$$n = \frac{4\pi}{h^3} (2m_-^*)^{3/2} e^{-\frac{E_- - E_F}{k_B T}} \int_{E_-}^{\infty} e^{-\frac{E - E_-}{k_B T}} \sqrt{E - E_-} dE$$

$$n = \frac{4\pi}{h^3} (2m_-^*)^{3/2} e^{-\frac{E_- - E_F}{k_B T}} \int_{E_-}^{\infty} e^{-\frac{E - E_-}{k_B T}} \overline{E - E_-} dE$$

$$\text{令 } \xi = \frac{E - E_-}{k_B T}$$

$$n = \frac{4\pi}{h^3} (2m_-^* k_B T)^{3/2} e^{-\frac{E_- - E_F}{k_B T}} \int_0^{\infty} \xi^{1/2} e^{-\xi} d\xi$$

$$n = \frac{2(2\pi m_-^* k_B T)^{3/2}}{h^3} e^{-\frac{E_- - E_F}{k_B T}}$$

—— 有效能级密度  $N_- = \frac{2(2\pi m_-^* k_B T)^{3/2}}{h^3}$

导带电子浓度

$$n = N_- e^{-\frac{E_- - E_F}{k_B T}}$$

$$N_- = \frac{2(2\pi m_-^* k_B T)^{3/2}}{h^3}$$

—— 单位体积中导电电子数就是如同导带底  $E_-$  处的  $N_-$  个能级所应含有的电子数

空穴浓度

$$p = \int_{-\infty}^{E_+} [1 - f(E)] N_+(E) dE$$

$$p = N_+ e^{-\frac{E_F - E_+}{k_B T}}$$

$$N_+ = \frac{2(2\pi m_+^* k_B T)^{3/2}}{h^3}$$

$$np = N_- N_+ e^{-\frac{E_- - E_+}{k_B T}}$$

—— 温度不变，导带中电子越多，空穴越少，反之亦然



### 3. 杂质激发

如果N型半导体主要含有一种施主，施主的能级： $E_D$   
施主的浓度： $N_D$

—— 足够低的温度下，载流子主要是从施主能级激发到导带的电子

导带中电子的数目是空的施主能级数目  $n = N_D[1 - f(E)]$

$$f(E) = \frac{1}{e^{(E-E_F)/k_B T} + 1}$$

$$n = N_D \left[ \frac{1}{1 + e^{(E_F-E_D)/k_B T}} \right]$$

因为  $n = N_- e^{-(E_- - E_F)/k_B T}$

—— 两式消去  $E_F$

$$n = \frac{N_D}{1 + \frac{n}{N_-} e^{(E_- - E_D)/k_B T}}$$

$E_- - E_D$  —— 导带底与施主能级差

施主的电离能

$$E_i = E_- - E_D$$

$$\frac{1}{N_-} e^{E_i/k_B T} n^2 + n = N_D$$

导带中电子的数目

$$n = \frac{-1 + [1 + 4(\frac{N_D}{N_-}) e^{E_i/k_B T}]^{1/2}}{(2 / N_-) e^{E_i/k_B T}}$$

$$n = \frac{-1 + [1 + 4(N_D / N_-)e^{E_i/k_B T}]^{1/2}}{2e^{E_i/k_B T} / N_-}$$

温度很低时  $k_B T \ll E_i$        $n \approx (N_- N_D)^{1/2} e^{-E_i/2k_B T}$

—— 很少的施主被电离

温度足够高时  $N_- = \frac{2(2\pi m_-^* k_B T)^{3/2}}{h^3} \quad \frac{N_D}{N_-} e^{E_i/k_B T} \ll 1$

$$n = \frac{-1 + [1 + 2(N_D / N_-)e^{E_i/k_B T} + \dots]}{2e^{E_i/k_B T} / N_-}$$

—— 施主几乎全被电离，导带中的电子数接近于施主数

## P 型半导体

受主的能级位置:  $E_A$  受主浓度:  $N_A$

—— 足够低的温度下, 载流子主要是从受主能级激发到满带的空穴

满带中空穴的浓度  $p = \frac{-1 + [1 + 4(\frac{N_A}{N_+})e^{E_i/k_B T}]^{1/2}}{2e^{E_i/k_B T} / N_+}$

$$E_i = E_A - E_+ \text{ —— 受主的电离能}$$

在足够低的温度下  $k_B T \ll E_i$   $p \approx (N_+ N_A)^{1/2} e^{-E_i/2k_B T}$

—— 只有很少的受主被电离

## 4. 本征激发

—— 足够高的温度下，本征激发占主导地位

满带到导带的电子激发

—— 特点为每产生一个电子同时将产生一个空穴  $n \approx p$

$$np = N_- N_+ e^{-\frac{E_- - E_+}{k_B T}} \quad n \approx p = \sqrt{N_- N_+} e^{-\frac{E_g}{2k_B T}}$$

$$E_g = E_- - E_+ \quad \text{—— 带隙宽度}$$

因为  $E_g \gg E_i$

—— 本征激发随温度变化更为陡峭

—— 测量分析载流子随温度的变化，可以确定带隙宽度

## § 7.4 电导和霍尔效应

### 1. 半导体电导率

在一般电场情况下，半导体的导电服从欧姆定律

$$\vec{j} = \sigma \vec{E} \quad \text{—— } \sigma \text{ 为电导率}$$

—— 半导体中可以同时有两种载流子

电流密度  $\vec{j} = nq\vec{v}_- + pq\vec{v}_+$

$\vec{v}_+$ ,  $\vec{v}_-$  —— 空穴和电子在外场下获得的平均漂移速度

平均漂移速度和外场的关系  $\bar{v}_+ = \mu_+ \bar{E}$ ,  $\bar{v}_- = \mu_- \bar{E}$

$\mu_+$ ,  $\mu_-$  —— 空穴和电子的迁移率

欧姆定律  $\vec{j} = nq\mu_- \vec{E} + pq\mu_+ \vec{E}$

电导率  $\sigma = nq\mu_- + pq\mu_+$

载流子的漂移运动是电场加速和半导体中散射的结果

散射来自于晶格振动和杂质

—— 温度较高时，晶格振动对载流子的散射是主要的

—— 温度较低时，杂质的散射是主要的

—— 迁移率一方面决定于有效质量 \_\_\_\_\_ 加速作用  
另一方面决定于散射几率

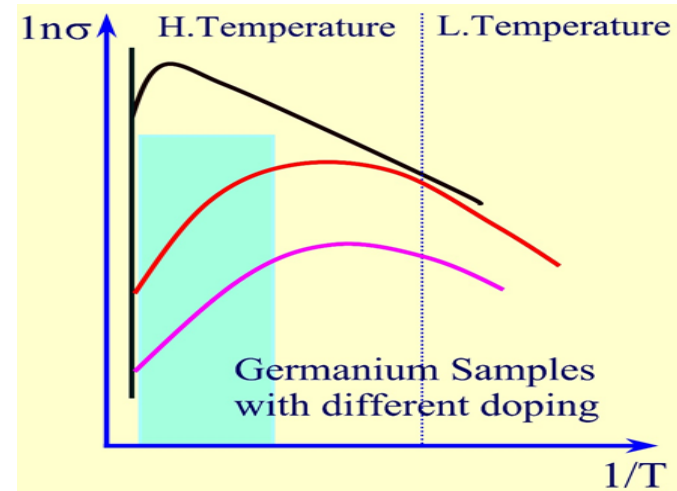
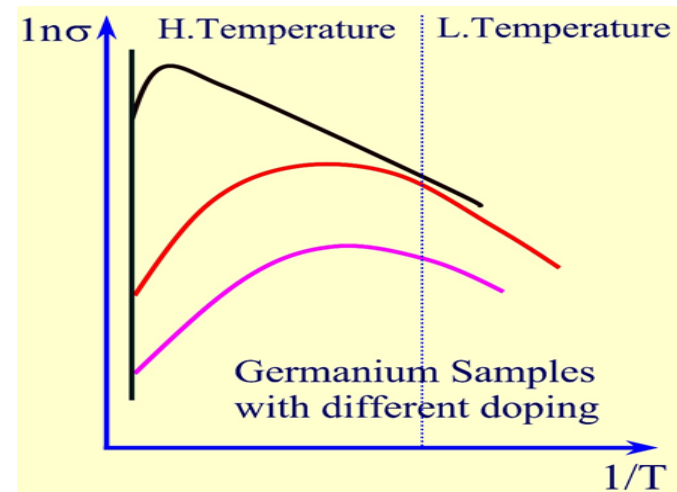
杂质激发的范围，主要是一种载流子  $\sigma = \begin{cases} nq\mu_- & N \\ pq\mu_+ & P \end{cases}$

## 掺杂不同的Ge半导体 —— 导电率随温度变化

1) 低温范围，杂质激发的载流子起主要作用 —— 载流子的数目与掺杂的情况有关

2) 高温范围，本征激发的载流子起主要作用 —— 载流子的数目与掺杂的情况无关

3) 中间温度区间，温度升高时，导电率反而下降 —— 晶格散射作用





## 2. 半导体的霍耳效应

半导体片置于xy平面内

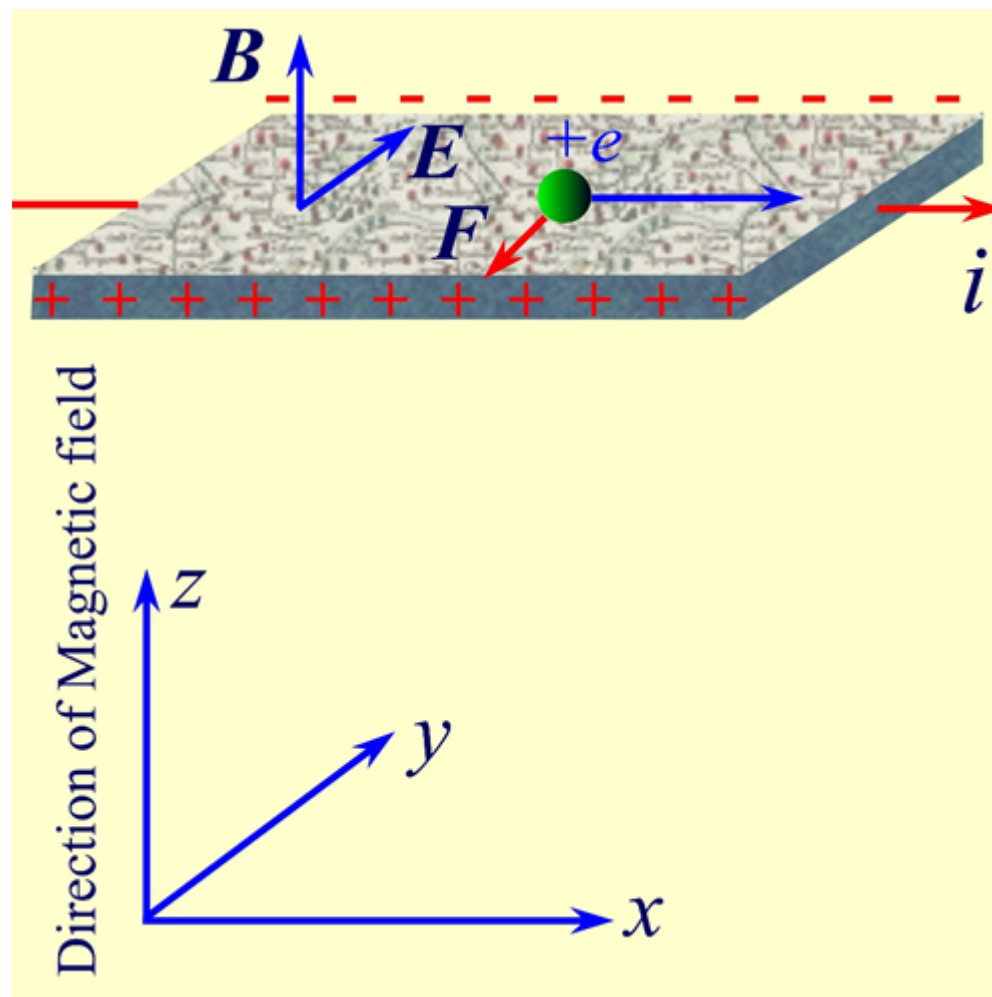
—— 电流沿x方向

—— 磁场垂直于半导体片沿z方向

空穴导电的P型半导体，载流子受到洛伦兹力

$$\vec{F} = q\vec{v} \times \vec{B}$$

$$F_y = -qv_x B_z$$



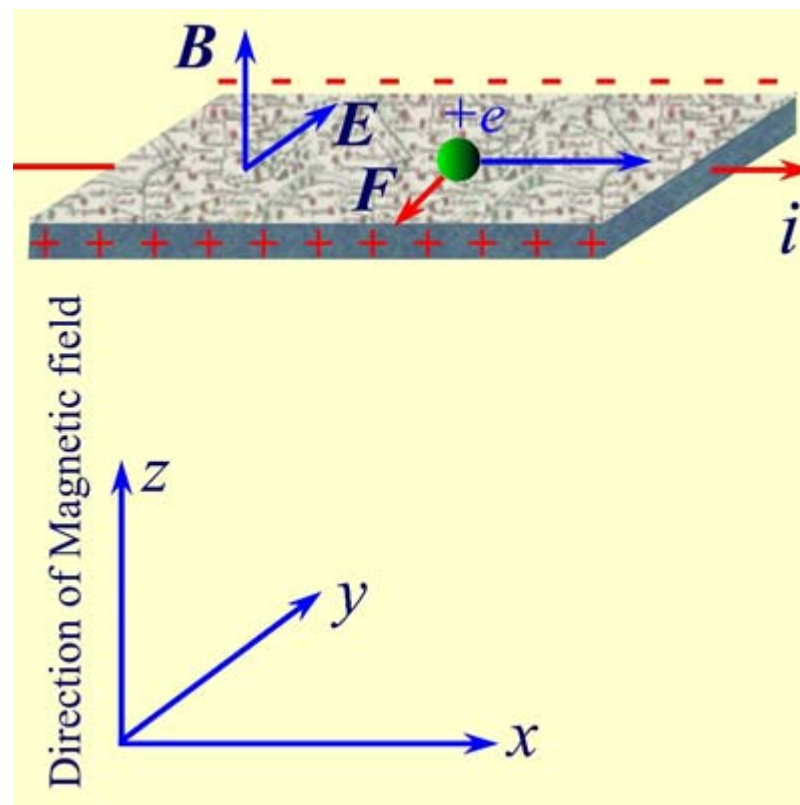
半导体片两端形成正负电荷的积累，产生静电场

达到稳恒，满足  $qE_y = qv_x B_z$

电流密度  $j_x = pqv_x$

电场强度  $E_y = \frac{1}{pq} j_x B_z$

$1/pq$  —— 霍尔系数



电子导电的N半导体 电场强度  $E_y = -\frac{1}{nq} j_x B_z$

$-1/nq$  —— 霍尔系数

$$E_y = \frac{1}{pq} j_x B_z \quad 1/pq \text{ —— 霍耳系数}$$

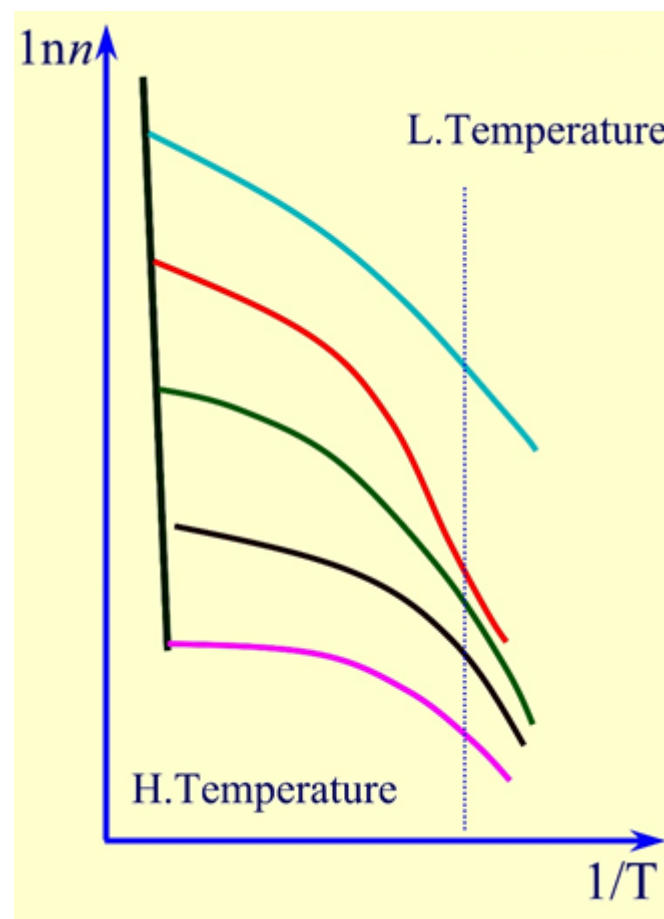
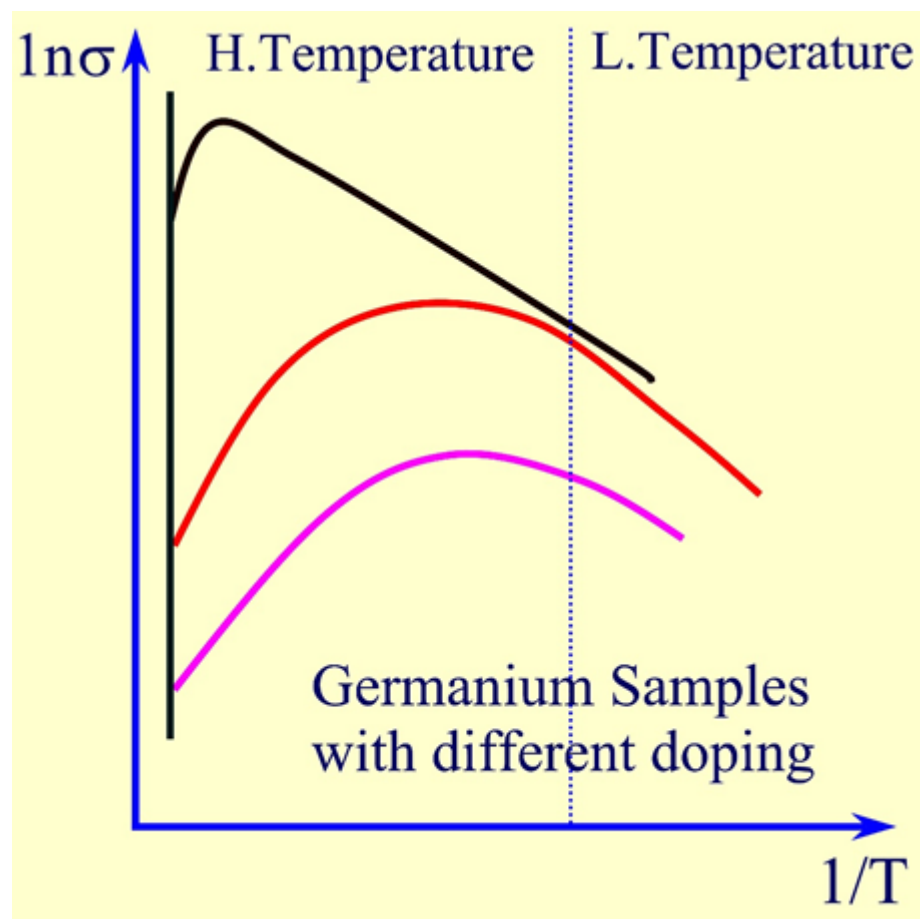
$$E_y = -\frac{1}{nq} j_x B_z \quad -1/nq \text{ —— 霍耳系数}$$

- 半导体的霍耳系数与载流子浓度成反比
- 半导体的霍耳效应比金属强得多
- 测量霍耳系数可以直接测得载流子浓度
- 确定载流子的种类

霍耳系数为正 —— 空穴导电

霍耳系数为负 —— 电子导电

—— 根据**电导**和**载流子浓度**的测量结果，与理论计算的结果进行比较可以获得带隙宽度、杂质电离能和杂质浓度等信息



## § 7.5 非平衡载流子

**N型半导体** —— 主要载流子是电子，也有少量的空穴载流子

电子 —— 多数载流子 —— 多子

空穴 —— 少数载流子 —— 少子

**P型半导体** —— 主要载流子是空穴，也有少量的电子载流子

空穴 —— 多数载流子 —— 多子

电子 —— 少数载流子 —— 少子

## 热平衡下电子和空穴的浓度

半导体中的杂质电子，或价带中的电子通过吸收热能，激发到导带中 —— 载流子的产生

电子回落到价带中和空穴发生复合 —— 载流子的复合

—— 达到平衡时，载流子的产生率和复合率相等  
电子和空穴的浓度有了一定的分布

电子和空穴的浓度满足  $n_0 p_0 = N_- N_+ e^{-\frac{E_g}{k_B T}}$

—— 热平衡条件

在外界的影响作用下，电子和空穴浓度可能偏离平衡值

—— 本征光吸收产生电子 — 空穴对

即有  $\Delta n = n - n_0$

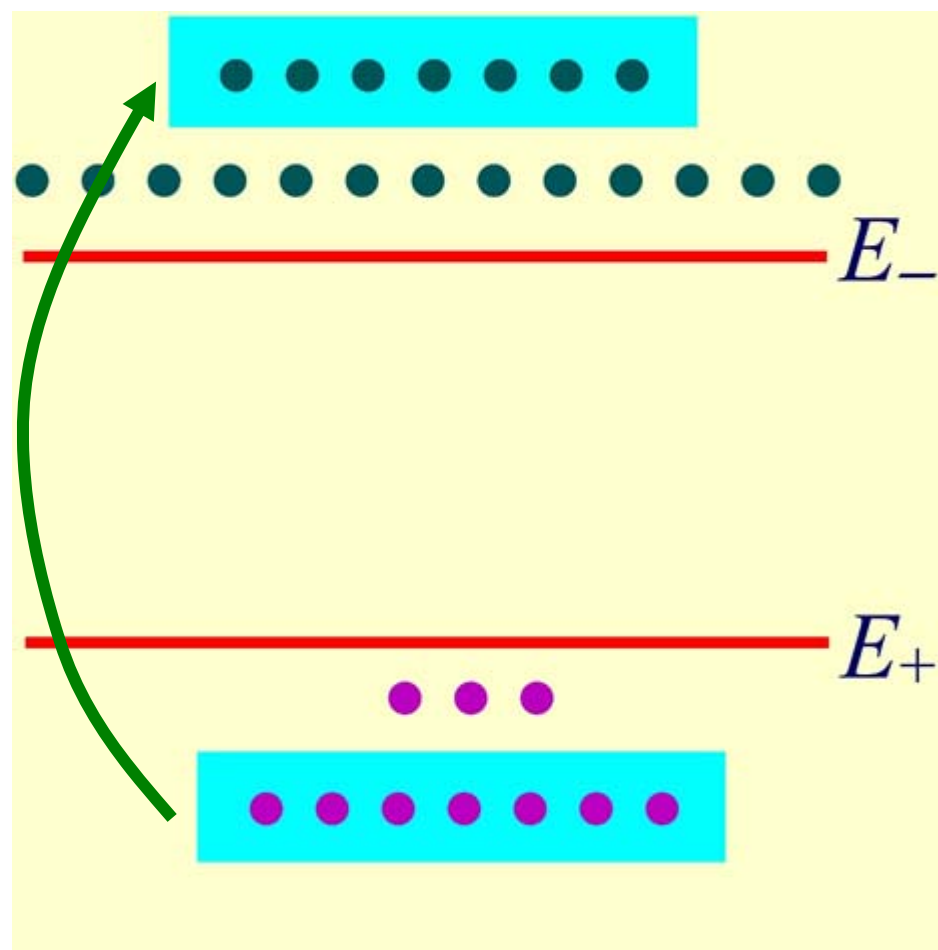
$$\Delta p = p - p_0$$

—— 非平衡载流子

非平衡电子和非平衡空穴  
的浓度相同

$$\Delta n = \Delta p$$

—— 如本征光吸收



## 非平衡载流子对多子和少子的影响

多子的数目很大 —— 非平衡载流子对多子的影响不明显

—— 对少子将产生很大影响

—— 在讨论非平衡载流子的问题时  
主要关心的是非平衡少数载流子

### 1. 非平衡载流子的复合和寿命

在热平衡下，载流子的浓度具有稳定值

非平衡载流子 —— 光照可以产生载流子